

УДК 531.383

ВОЗМУЩАЮЩИЕ МОМЕНТЫ В ПОПЛАВКОВОМ ГИРОСКОПЕ
С УПРУГИМ КОРПУСОМ ПОПЛАВКА
НА ВИБРИРУЮЩЕМ ОСНОВАНИИ

АНДРЕЙЧЕНКО К. П., МОГИЛЕВИЧ Л. И.

Исследуется влияние упругих деформаций корпуса поплавка в гироскопе на вибрирующем основании с гидростатическим подвесом гироузла на вибрационный возмущающий момент. Учитываются силы инерции движения слоя вязкой несжимаемой жидкости, окружающей поплавок, и упругой оболочки корпуса поплавка. Найдены главный вектор и главный момент, действующие на абсолютно жесткую рамку поплавка, показывающие значительность влияния на них упругих деформаций и перемещений корпуса поплавка при установившейся вибрации в широком диапазоне частот вибраций.

1. Рассмотрим поплавковый гироскоп, условно представленный на фиг. 1. Корпус 1 поплавка является замкнутой упругой цилиндрической оболочкой толщины h_0 с радиусом срединной поверхности $R \gg h_0$ и длины $2l_1$. На торцах оболочки 1 соединяется жесткой заделкой с торцевыми дисками абсолютно жесткой рамки 2. Ротор гиромотора 3 и корпус прибора 4 являются абсолютно жесткими. Опоры гиромотора 5 обладают упругой податливостью. Малый зазор между стенками поплавка и камеры радиусов R_1 и R_0 полностью заполнен вязкой несжимаемой жидкостью для разгрузки опор поплавка. Наружная поверхность корпуса поплавка и поверхность камеры образуют цилиндр в цилиндре длины $2l_1$ и $2l_0$ соответственно. Радиальный зазор цилиндрической щели $\delta = R_0 - R_1 \ll R_1$. Торцевые зазоры выполнены так, что отсутствует перетекание жидкости из цилиндрической щели в торцевые. В случае абсолютно жесткого корпуса поплавка подобная задача рассматривалась в [1].

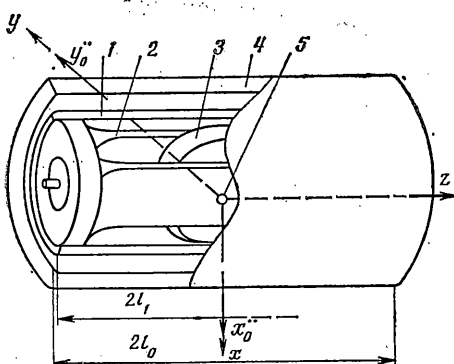
Пусть система координат $Oxyz$ связана с основанием прибора (фиг. 2), система $O_1x_1y_1z_1$ — с рамкой поплавка, а $O_2x_2y_2z_2$ — с ротором гиромотора. При этом точка O совпадает с геометрическим центром камеры, O_1 — с геометрическим центром и центром масс рамки поплавка, а O_2 — с центром масс ротора гиромотора.

Корпус прибора (основание) совершает переносное поступательное движение относительно инерциальной системы координат с ускорением, имеющим проекции $x_0''(t)$, $y_0''(t)$, 0 на оси декартовой системы координат $Oxyz$. Здесь точка означает дифференцирование по времени t , сила притяжения Земли опускается.

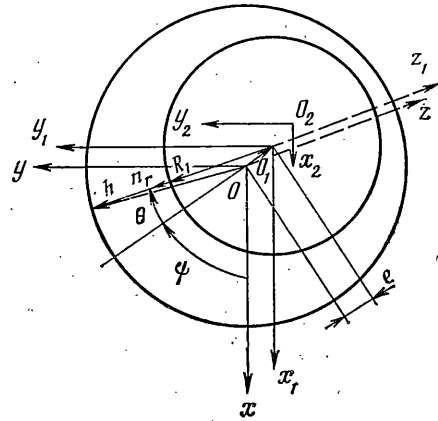
Через x , y обозначим перемещения центра масс рамки поплавка относительно камеры, а через x_1 , y_1 — перемещения центра масс ротора гиромотора относительно рамки поплавка. Перемещения вдоль Oz рамки поплавка и вдоль O_1z_1 ротора гиромотора отсутствуют.

Амплитуда колебаний рамки поплавка относительно камеры и амплитуда прогиба корпуса поплавка как упругой оболочки значительно меньше δ .

Пусть центр масс рамки O_1 , двигаясь относительно камеры $Oxyz$, совпадает в данный момент времени с фиксированным относительно $Oxyz$ полюсом O_1^* (e , ψ , 0) цилиндрической системы координат r , θ , z . За полярную ось примем прямую, проходящую через O и O_1^* , наклоненную под углом ψ к оси Ox . Эксцентриситет OO_1^* обозначим через e (фиг. 2). Радиальный зазор между стенкой камеры и корпусом поплавка на абсолютно жестких торцевых дисках определяется с точностью до $(e/R_0) \ll 1$ формулой $h = -\delta + e \cos \theta$.



Фиг. 1



Фиг. 2

Закон движения основания (корпуса прибора) относительно инерциальной системы координат имеет вид (разложение в ряд Фурье; суммирование здесь и далее по n от 1 до ∞):

$$\begin{aligned} x_0(t) &= x_{m0}f_{0c}(\omega t), \quad y_0(t) = y_{m0}f_{0s}(\omega t), \quad z_0(t) = 0 \\ f_{0c}(\omega t) &= \sum (a_{n0c} \sin n\omega t - b_{n0c} \cos n\omega t) \\ f_{0s}(\omega t) &= \sum (a_{n0s} \sin n\omega t - b_{n0s} \cos n\omega t) \end{aligned} \quad (1.1)$$

а закон движения центра масс рамки поплавка относительно камеры запишется в виде

$$\begin{aligned} x &= x_m f_c(\omega t), \quad y = y_m f_s(\omega t), \quad z = 0 \\ f_c(\omega t) &= \sum (a_{nc} \sin n\omega t - b_{nc} \cos n\omega t) \\ f_s(\omega t) &= \sum (a_{ns} \sin n\omega t - b_{ns} \cos n\omega t) \end{aligned} \quad (1.2)$$

Здесь x_{m0} , y_{m0} , x_m , y_m — амплитуды колебаний корпуса прибора и рамки поплавка, ω — частота колебаний.

Линейные уравнения движения абсолютно жесткой рамки поплавка и ротора гиромотора в случае внешнего источника вибрации (переносное ускорение) согласно второму закону Ньютона имеют вид

$$\begin{aligned} m_1[x_0''(t) + x''(t)] &= -n_0x(t) + k_x x_1'(t) + n_x x_1(t) + N_{0x} \\ m_1[y_0''(t) + y''(t)] &= -n_0y(t) + k_y y_1'(t) + n_y y_1(t) + N_{0y} \\ m_2[x_0''(t) + x''(t) + x_1''(t)] &= -k_{xx} x_1'(t) - n_{xx} x_1(t) \\ m_2[y_0''(t) + y''(t) + y_1''(t)] &= -k_{yy} y_1'(t) - n_{yy} y_1(t) \end{aligned} \quad (1.3)$$

Здесь введены конструктивные параметры гироузла: m_1 , m_2 — массы рамки поплавка и ротора гиромотора соответственно; k_x , k_y — удельные коэффициенты демпфирования колебаний ротора в опорах в направлениях O_1x_1 и O_1y_1 ; n_x , n_y — коэффициенты, характеризующие упругую жесткость опор ротора в направлениях O_1x_1 и O_1y_1 ; n_0 — упругая жесткость устройств, центрирующих поплавок относительно камеры; N_{0x} , N_{0y} — компоненты главного вектора, действующего на абсолютно жесткую рамку со стороны упругого корпуса поплавка в направлениях O_1x_1 и O_1y_1 . При этом в силу (1.1), (1.2) закон движения ротора относительно рамки поплавка представляется в виде

$$\begin{aligned} x_1 &= x_{m1}f_{1c}(\omega t), \quad y_1 = y_{m1}f_{1s}(\omega t), \quad z_1 = 0 \\ f_{1c}(\omega t) &= \sum (a_{n1c} \sin n\omega t - b_{n1c} \cos n\omega t) \\ f_{1s}(\omega t) &= \sum (a_{n1s} \sin n\omega t - b_{n1s} \cos n\omega t) \end{aligned} \quad (1.4)$$

Здесь x_{m1} , y_{m1} — амплитуды колебаний ротора. Следует отметить, что в формулах (1.1), (1.2), (1.4) опущена постоянная составляющая, которая не оказывает влияния на постоянную составляющую вибрационного возмущающего момента, являющуюся объектом исследования.

Введем безразмерные переменные

$$\begin{aligned} \xi &= (l-R_1)/\delta, \theta = \theta, \zeta = z/l, \tau = \omega t \\ v_r &= e\omega u_\xi, v_\theta = e\omega(R_1/\delta)u_\theta, v_z = e\omega(l_1/\delta)u_\zeta \\ p &= p_0 - \rho R_1 \omega^2 [1 + (\delta/R_1)\xi] [x_{m0} f_{oc}''(\tau) \cos(\theta+\psi) + \\ &\quad + y_{m0} f_{os}''(\tau) \sin(\theta+\psi)] + \rho v_e \omega R_1^2 \delta^{-3} P \\ u &= u_m W_1, v = v_m W_2, w = w_m W_3, a^2 = h_0^2/(12R^2) \\ \epsilon &= (\delta/R_1) \ll 1, \lambda = (e/\delta) \ll 1, \text{Re} = \delta^2 \omega / v, c^2 = E/[\rho_0(1-\mu^2)] \end{aligned} \quad (1.5)$$

Здесь r , θ , z — цилиндрические координаты (см. фиг. 2), v_r , v_θ , v_z — проекции вектора скорости жидкости на оси цилиндрической системы координат, p — давление жидкости, ρ_0 — уровень отсчета давления, ρ — плотность жидкости, v — коэффициент кинематической вязкости жидкости, u , v , w — перемещения корпуса-оболочки в направлении осей $-z$, θ , r соответственно, $s^* = -z$, θ , r — локальные координаты в срединной поверхности оболочки и по нормали к ней, причем ось s^* противоположна оси z , чтобы тройка s^* , θ , r была правой, ρ_0 — плотность материала оболочки, E — модуль Юнга, μ — коэффициент Пуассона материала оболочки; штрих означает дифференцирование по τ .

Для тонкого слоя жидкости в цилиндрической щели (с точностью до ϵ) получим уравнения динамики вязкой несжимаемой жидкости [2, 3] в переменных (1.5):

$$\begin{aligned} \frac{\partial P}{\partial \xi} &= 0, \quad \text{Re} \left[\frac{\partial u_\theta}{\partial \tau} + \lambda \left(u_\xi \frac{\partial u_\theta}{\partial \xi} + u_\theta \frac{\partial u_\theta}{\partial \theta} + u_\zeta \frac{\partial u_\theta}{\partial \zeta} \right) \right] = \\ &= -\frac{\partial P}{\partial \theta} + \frac{\partial^2 u_\theta}{\partial \xi^2}, \quad \text{Re} \left[\frac{\partial u_\zeta}{\partial \tau} + \lambda \left(u_\xi \frac{\partial u_\zeta}{\partial \xi} + u_\theta \frac{\partial u_\zeta}{\partial \theta} + u_\zeta \frac{\partial u_\zeta}{\partial \xi} \right) \right] = \\ &= -\left(\frac{R_1}{l_1} \right)^2 \frac{\partial P}{\partial \xi} + \frac{\partial^2 u_\zeta}{\partial \xi^2}, \quad \frac{\partial u_\xi}{\partial \xi} + \frac{\partial u_\theta}{\partial \theta} + \frac{\partial u_\zeta}{\partial \xi} = 0 \end{aligned} \quad (1.6)$$

и уравнения динамики оболочки-корпуса поплавка [2, 4]:

$$\begin{aligned} \frac{c^2}{R^2 \omega^2} \left(L_1 W_1 + \frac{v_m}{u_m} L_{12} W_2 + \frac{w_m}{u_m} L_{13} W_3 \right) - \frac{\partial^2 W_1}{\partial \tau^2} &= \\ = \frac{\rho R_1 e}{\rho_0 h_0 \text{Re} u_m} \left(\frac{l_1}{R_1} \frac{\partial u_\xi}{\partial \xi} + \frac{R_1}{l_1} \lambda \frac{w_m}{e} \frac{\partial W_3}{\partial \xi} Q \right) &\Big|_{\xi=\lambda \frac{w_m}{e} W_3} \\ \frac{c^2}{R^2 \omega^2} \left(\frac{u_m}{v_m} L_{21} W_1 + L_{22} W_2 + \frac{w_m}{u_m} L_{23} W_3 \right) - \frac{\partial^2 W_2}{\partial \tau^2} &= - \left[\frac{x_{m0}}{v_m} f_{oc}''(\tau) + \frac{x_m}{v_m} f_c''(\tau) \right] \sin(\theta+\psi) + \\ + \left[\frac{y_{m0}}{v_m} f_{os}''(\tau) + \frac{y_m}{v_m} f_s''(\tau) \right] \cos(\theta+\psi) - \frac{\rho R_1 e}{\rho_0 h_0 \text{Re} v_m} \left(\frac{\partial u_\theta}{\partial \xi} + \lambda \frac{w_m}{e} \frac{\partial W_3}{\partial \theta} Q \right) &\Big|_{\xi=\lambda \frac{w_m}{e} W_3} \\ \frac{c^2}{R^2 \omega^2} \left(\frac{u_m}{w_m} L_{31} W_1 + \frac{v_m}{w_m} L_{32} W_2 + L_{33} W_3 \right) + \frac{\partial^2 W_3}{\partial \tau^2} &= \\ = - \left[\frac{x_{m0}}{w_m} f_{oc}''(\tau) + \frac{x_m}{w_m} f_c''(\tau) \right] \cos(\theta+\psi) - & \\ - \left[\frac{y_{m0}}{w_m} f_{os}''(\tau) + \frac{y_m}{w_m} f_s''(\tau) \right] \sin(\theta+\psi) - \frac{\rho R_1 e}{\rho_0 h_0 \text{Re} w_m \epsilon} Q &\Big|_{\xi=\lambda \frac{w_m}{e} W_3} \end{aligned} \quad (1.7)$$

$$Q = \frac{\epsilon^2}{\rho v \lambda \omega} p_0 + P + \epsilon \text{Re} \left[\frac{x_{m0}}{e} f_{oc}''(\tau) \cos(\theta+\psi) + \frac{y_{m0}}{e} f_{os}''(\tau) \sin(\theta+\psi) \right]$$

$$\begin{aligned}
L_{11} &= \left(\frac{R}{l_1} \right)^2 \frac{\partial^2}{\partial \xi^2} + \frac{1-\mu}{2} \frac{\partial^2}{\partial \theta^2}, \quad L_{12}=L_{21}=-\frac{1+\mu}{2} \frac{R}{l_1} \frac{\partial^2}{\partial \xi \partial \theta}, \\
L_{13}=L_{31} &= -\mu \frac{R}{l_1} \frac{\partial}{\partial \xi}, \quad L_{22}=\frac{1-\mu}{2} \left(\frac{R}{l_1} \right)^2 (1+4a^2) \frac{\partial^2}{\partial \xi^2} + (1+a^2) \frac{\partial^2}{\partial \theta^2} \\
L_{23}=L_{32} &= \frac{\partial}{\partial \theta} - a^2 \left[(2-\mu) \left(\frac{R}{l_1} \right)^2 \frac{\partial^3}{\partial \xi^2 \partial \theta} + \frac{\partial^3}{\partial \theta^3} \right] \\
L_{33} &= 1+a^2 \left[\left(\frac{R}{l_1} \right)^2 \frac{\partial^2}{\partial \xi^2} + \frac{\partial^2}{\partial \theta^2} \right]^2, \quad \varepsilon \ll 1
\end{aligned}$$

Границные условия, когда расход жидкости при перетекании ее из цилиндрической щели в торцевые пренебрежимо мал по сравнению с расходом в цилиндрической щели, имеют вид

$$\begin{aligned}
u_\xi &= u_\theta = u_\zeta = 0 \text{ при } \xi = 1 + \lambda \cos \theta \\
u_\xi &= (x_m/e) f'_c(\tau) \cos(\theta + \psi) + (y_m/e) f'_s(\tau) \sin(\theta + \psi) + \\
&\quad + (w_m/e) \partial W_s / \partial \tau, \quad u_\theta = u_\zeta = 0 \text{ при } \xi = \lambda (w_m/e) W_3 \\
\partial P / \partial \xi &= 0 \text{ при } \xi = 1, \quad \xi = 0 \\
W_1 &= W_2 = W_3 = \partial W_s / \partial \xi = 0 \text{ при } \xi = \pm 1 \\
W_1 &= \partial W_s / \partial \zeta = \partial W_s / \partial \xi = \partial^3 W_s / \partial \xi^3 = 0 \text{ при } \xi = 0, \quad \varepsilon \ll 1
\end{aligned} \tag{1.8}$$

Учитывая симметрию задачи по ζ и считая, что контакт корпуса по-прежнему на торцах с абсолютно жесткими торцевыми дисками рамки осуществляется по линии соединения диска со срединной поверхностью корпуса, получим компоненты главного вектора вдоль осей O_1x_1 , O_1y_1 , O_1z_1 в виде

$$\begin{aligned}
N_{0x} &= c^2 \rho_0 h_0 \int_0^{2\pi} \left[(1-\mu-2\mu a^2) \frac{R}{l_1} v_m \frac{\partial W_2}{\partial \xi} \sin(\theta + \psi) + \right. \\
&\quad \left. + 2a^2 \left(\frac{R}{l_1} \right)^3 w_m \frac{\partial^3 W_3}{\partial \xi^3} \cos(\theta + \psi) \right] \Big|_{\xi=1} d\theta \\
N_{0y} &= -c^2 \rho_0 h_0 \int_0^{2\pi} \left[(1-\mu-2\mu a^2) \frac{R}{l_1} v_m \frac{\partial W_2}{\partial \xi} \cos(\theta + \psi) - \right. \\
&\quad \left. - 2a^2 \left(\frac{R}{l_1} \right)^3 w_m \frac{\partial^3 W_3}{\partial \xi^3} \sin(\theta + \psi) \right] \Big|_{\xi=1} d\theta \\
N_{0z} &= 0
\end{aligned} \tag{1.9}$$

Для главного момента компоненты по осям O_1x_1 , O_1y_1 , O_1z_1 имеют вид

$$L_{0x} = L_{0y} = 0 \tag{1.10}$$

$$L_{0z} = -c^2 \rho_0 h_0 R \int_0^{2\pi} (1-\mu)(1+4a^2) \frac{R}{l_1} v_m \frac{\partial W_2}{\partial \xi} \Big|_{\xi=1} d\theta$$

Постоянная по времени составляющая главного момента (вибрационного возмущающего момента) определяется формулой

$$\langle L_{0z} \rangle = \frac{1}{2\pi} \int_0^{2\pi} L_{0z} d\tau. \tag{1.11}$$

2. Решим нелинейную связанные задачу упругогидродинамики (1.3), (1.6)–(1.8) методом возмущений. Решение задачи (1.6)–(1.8) ищется в виде асимптотического разложения [1, 2] по степеням малого параметра

метра λ :

$$\begin{aligned} P_0 &= P_0 + \lambda P_1 + \dots, \quad u_\xi = u_{\xi 0} + \lambda u_{\xi 1} + \dots \\ u_\theta &= u_{\theta 0} + \lambda u_{\theta 1} + \dots, \quad u_\zeta = u_{\zeta 0} + \lambda u_{\zeta 1} + \dots \\ W_1 &= W_{10} + \lambda W_{11} + \dots, \quad W_2 = W_{20} + \lambda W_{21} + \dots \\ W_3 &= W_{30} + \lambda W_{31} + \dots \end{aligned} \quad (2.1)$$

Подставляя (2.1) в систему уравнений (1.6), (1.7), относя граничные условия (1.8) на невозмущенные поверхности $\xi=1$ и $\xi=0$, разложением искомых переменных в ряд Тейлора в нулевом приближении по λ получим линейную задачу упругогидродинамики. Учитывая вид граничных условий (1.8) и формулы (1.1), (1.2), решение этой задачи ищем в виде [1]:

$$\begin{aligned} T_0 &= \sum [(A_{1nT} \cos \theta + B_{1nT} \sin \theta) \cos n\tau + (C_{1nT} \cos \theta + D_{1nT} \sin \theta) \sin n\tau] \\ W_{10} &= \xi(1-\xi^2) \left\{ \frac{1}{2} a_{1001} + \sum [(a_{11n1} \cos \theta + b_{11n1} \sin \theta) \cos n\tau + (c_{11n1} \cos \theta + d_{11n1} \sin \theta) \sin n\tau] \right\} \\ W_{20} &= (1-\xi^2) \sum [(b_{21n1} \cos \theta + a_{21n1} \sin \theta) \cos n\tau + (d_{21n1} \cos \theta + c_{21n1} \sin \theta) \sin n\tau] \\ W_{30} &= (1-\xi^2)^2 \left\{ \frac{1}{2} a_{3001} + \sum [(a_{31n1} \cos \theta + b_{31n1} \sin \theta) \cos n\tau + (c_{31n1} \cos \theta + d_{31n1} \sin \theta) \sin n\tau] \right\} \end{aligned} \quad (2.2)$$

Здесь под T_0 понимается P_0 , $u_{\theta 0}$, $u_{\xi 0}$, причем коэффициенты A_{1nT} , B_{1nT} , C_{1nT} , D_{1nT} для P_0 зависят только от ξ , для $u_{\theta 0}$, $u_{\xi 0}$ они зависят от ξ и ζ . Коэффициенты в рядах Фурье для перемещений корпуса поплавка являются постоянными. Выбор зависимости от ζ упругих перемещений корпуса поплавка W_{i0} ($i=1, 2, 3$) обусловлен удовлетворением граничных условий (1.8). Подставляя (2.2) в соответствующие уравнения и граничные условия нулевого приближения по λ , приравнивая нуль коэффициенты при соответствующих тригонометрических функциях и применяя процедуру метода Бубнова – Галеркина по ζ в первом приближении к уравнениям динамики оболочки, найдем коэффициенты в формулах (2.2).

Найденные решения задачи в нулевом приближении подставляем в формулы (1.9), (1.10) и находим компоненты главного вектора N_{0x} , N_{0y} и главного момента L_{0z} . При этом в силу интегрирования по θ от 0 до 2π получим, что вибрационный возмущающий момент L_{0z} обращается в нуль. Следовательно, для определения главного момента необходимо рассмотреть первое приближение по λ .

Найденные значения N_{0x} , N_{0y} и формулы (1.1), (1.2), (1.4) подставляем в уравнение (1.3), приравниваем коэффициенты при одинаковых тригонометрических функциях и находим коэффициенты Фурье рядов (1.2), (1.4) через коэффициенты рядов (1.1).

3. В первом приближении по λ возмущающий момент (1.10) с учетом уравнений (1.7) запишется в виде

$$\begin{aligned} L_{0z} &= L_{0z}^0 + \lambda L_{0z}^1 + \dots, \quad L_{0z}^0 = 0 \\ \lambda L_{0z}^1 &= -2\pi\rho_0 h_0 R^2 \omega^2 v_m \lambda \int_{-1}^1 \left[\frac{1}{2\pi} \int_0^{2\pi} \frac{\partial^2 W_{21}}{\partial \tau^2} d\theta \right] l_1 d\xi + \\ &+ 2\pi R_1 \rho v \lambda \omega e^{-2} e \int_{-1}^1 \left[\frac{1}{2\pi} \int_0^{2\pi} \frac{\partial u_{\theta 1}}{\partial \xi} \Big|_{\xi=0} d\theta \right] l_1 d\xi - \\ &- 2\pi \rho R_1^2 \omega^2 w_m \int_{-1}^1 \left\{ \frac{1}{2\pi} \int_0^{2\pi} [x_{m0} f_{0c}''(\tau) \cos(\theta+\psi) + \right. \\ &\left. + y_{m0} f_{0s}''(\tau) \sin(\theta+\psi)] \frac{\partial W_{30}}{\partial \theta} d\theta \right\} l_1 d\xi \end{aligned} \quad (3.1)$$

Очевидно, что под знаком интеграла по θ в формуле (3.1) остаются только величины, не зависящие от θ , так как все остальные величины обращаются в нуль после вычисления интеграла по θ . Следовательно, в первом приближении по λ необходимо найти не зависящие от θ величины $W_{21}, u_{\theta 1}$. Для них система уравнений (1.6), (1.7) в первом приближении по λ распадается на две линейные системы. Первая система представляет собой второе уравнение (1.6) и второе уравнение (1.7) с соответствующими граничными условиями (1.8) на невозмущенных поверхностях $\xi=0$ и $\xi=1$. Вторая система не содержит искомых функций и не рассматривается.

Решение ищется в виде рядов Фурье по времени τ аналогичных (2.2), но с коэффициентами, не зависящими от θ [1]. Находя это решение теми же методами, что и нулевое приближение по λ , подставляя его, (2.2) и (1.1) в (3.1), переходя к осредненному за период колебания моменту (1.11), учитывая, что

$$e \cos \psi = -x_m \sum (a_{nc} \sin n\tau - b_{nc} \cos n\tau)$$

$$e \sin \psi = -y_m \sum (a_{ns} \sin n\tau - b_{ns} \cos n\tau)$$

и выражая коэффициенты рядов (1.2), (1.4) через коэффициенты рядов (1.1) (см. п. 2), найдем постоянную составляющую вибрационного возмущающего момента, действующего со стороны упругого корпуса поплавка на абсолютно жесткую рамку поплавка ($\kappa=R_i/l_i$):

$$\begin{aligned} \langle L_{0z} \rangle &= m_4 \omega^2 x_{m0} y_{m0} / (\varepsilon \operatorname{Re}) \sum (- (1 + 1/2 Z_n) M_3 K_3 + \\ &+ [4/15 + (8/35 - 8/15 \kappa^2 + 8\kappa^4 - 24\kappa^5 \operatorname{cth} \kappa^{-1} + 24\kappa^6)^3/4 Z_n] (M_s K_4 + \\ &+ M_6 K_5) X_{0n} + 2K_3 (M_5 X_n - M_7 Y_n) - 1/8 \beta^{-1} \{ (512/315 - \\ &- 512/105 \kappa^2 + 256/5 \kappa^4 - 768 \kappa^6 + 2304 \kappa^7 \operatorname{cth} \kappa^{-1} - \\ &- 2304 \kappa^8) D_2 M_1 [K_1 X_{0n}^2 - K_5 12 \gamma n Y_n X_{0n} - K_4 (X_n X_{0n} - \\ &- 2\alpha \beta^2 Y_n X_{0n}) - K_3 (X_n^2 - 4\alpha \beta^2 X_n Y_n + 4\alpha^2 \beta^4 Y_n^2 + \\ &+ 144 \gamma^2 n^2 Y_n^2)] + 16/15 K_5 (M_1 M_8 - M_2 M_9) + \\ &+ 16/15 K_4 (M_4 M_9 + M_2 M_8) + 32/15 K_3 (M_1 M_{11} + M_2 M_{10}) \} + \\ &+ 4/15 \varepsilon \operatorname{Re} n^2 (2K_4 M_8 - K_4 M_{10} - K_5 M_{11})) \end{aligned} \quad (3.2)$$

$$K_1 = a_{n0c} b_{n0s} - b_{n0c} a_{n0s}, \quad K_2 = a_{n0c} a_{n0s} + b_{n0c} b_{n0s}$$

$$K_3 = (A_1 B_2 - A_2 B_1) K_2 - (A_1 B_1 + A_2 B_2) K_1$$

$$K_4 = (B_2 - A_2) K_2 - (B_1 + A_1) K_1, \quad K_5 = (B_1 - A_1) K_2 + (B_2 + A_2) K_1$$

$$M_1 = [12 \gamma n (\operatorname{sh} \beta + \operatorname{sin} \beta) + 2\alpha \beta^2 (\operatorname{sh} \beta - \operatorname{sin} \beta)] (\operatorname{ch} \beta + \operatorname{cos} \beta)^{-1}$$

$$M_2 = [12 \gamma n (\operatorname{sh} \beta - \operatorname{sin} \beta) - 2\alpha \beta^2 (\operatorname{sh} \beta + \operatorname{sin} \beta)] (\operatorname{ch} \beta + \operatorname{cos} \beta)^{-1}$$

$$M_3 = [12 \gamma n (1 + \operatorname{ch} \beta \operatorname{cos} \beta) + 2\alpha \beta^2 \operatorname{sh} \beta \operatorname{sin} \beta] (\operatorname{ch} \beta + \operatorname{cos} \beta)^{-2}$$

$$M_4 = [12 \gamma n \operatorname{sh} \beta \operatorname{sin} \beta - 2\alpha \beta^2 (1 + \operatorname{ch} \beta \operatorname{cos} \beta)] (\operatorname{ch} \beta + \operatorname{cos} \beta)^{-2}, \quad M_5 = M_3 D_1 - M_4 \beta_{33} d_1,$$

$$M_6 = M_3 \beta_{33} d_1 + M_4 D_1, \quad M_7 = M_3 U_1 - M_4 U_2, \quad M_8 = X_{0n} \beta_{33} d_1, \quad M_9 = X_{0n} D_1$$

$$M_{10} = X_{0n} \beta_{33} d_1 - Y_n U_2, \quad M_{11} = X_n D_1 - Y_n U_1$$

$$U_1 = 2\alpha \beta^2 D_1 - 12 \gamma n \beta_{33} d_1, \quad U_2 = 2\alpha \beta^2 \beta_{33} d_1 + 12 \gamma n D_1$$

$$U_3 = M \omega^2 n^2 D_1 - K \omega n \beta_{33} d_1, \quad U_4 = M \omega^2 n^2 \beta_{33} d_1 + K \omega n D_1$$

$$U_5 = M \omega^2 n^2 U_1 - K \omega n U_2, \quad U_6 = M \omega^2 n^2 U_2 + K \omega n U_1$$

$$X_{0n} = (4/3) R^2 \omega^2 n^2 c^{-2} D_2^{-1} [d_2 - 0,8 d_1 + 0,8 d_1 \rho R_1 / (\rho_0 h_0)]$$

$$X_n = (4/3) R^2 \omega^2 n^2 c^{-2} D_2^{-1} (d_2 - 0,8 d_1), \quad Y_n = (16/15) R^2 \omega^2 n^2 c^{-2} D_2^{-1} d_1 \rho R_1 / (\varepsilon \operatorname{Re} \rho_0 h_0)$$

$$\begin{aligned}
Z_n &= X_n D_2 [(d_2 - 0,8d_1) R^2 l_1^{-2} (1-\mu) (1+4a^2) - 0,6 X_n D_2]^{-1} \\
M \omega^2 n^2 &= 2\alpha \beta^2 m_4 \omega^2 / (\varepsilon \operatorname{Re}), \quad K \omega n = 12 \gamma n m_4 \omega^2 / (\varepsilon \operatorname{Re}) \\
m_3 &= 2\pi R h_0 2l_1 \rho_0, \quad m_4 = \pi R_1^2 2l_1 \rho \\
j_1 &= m_2 \omega^2 n^2, \quad j_2 = k_x \omega n, \quad j_3 = k_y \omega n, \quad j_4 = n_x - j_1 \\
j_5 &= n_y - j_1, \quad j_x = j_4^2 + j_2^2, \quad j_y = j_5^2 + j_3^2 \\
M_{c1} &= n_0 - (m_4 + m_3 + m_2) \omega^2 n^2 - j_1^2 j_4 / j_x - M \omega^2 n^2 + \\
&\quad + m_3 \omega^2 n^2 X_n D_1 (d_3 + \beta_{33}^2 d_1 \alpha_{11} D_1^{-1} + 1,6 d_2 - \\
&\quad - 0,64 d_1) / [3(d_2 - 0,8d_1)] + 16 X_n U_3 / 15 - 8 Y_n U_5 / 15 \\
M_{c2} &= j_1^2 j_2 / j_x + K \omega n + m_3 \omega^2 n^2 X_n \beta_{33} (d_2 - 0,8d_1) / 3 - \\
&\quad - 16 X_n U_4 / 15 + 8 Y_n U_6 / 15, \quad M_{s1} = M_{c1} + j_1^2 (j_4 / j_x - j_5 / j_y) \\
M_{s2} &= M_{c2} - j_1^2 (j_2 / j_x - j_3 / j_y), \quad M_{0c1} = (m_4 - m_1 - m_3 - m_2) \omega^2 n^2 - j_1^2 j_4 / j_x - 8 m_4 \omega^2 n^2 X_n D_1 / 15 + \\
&\quad + m_3 \omega^2 n^2 X_n D_1 (d_3 + \beta_{33}^2 d_1 \alpha_{11} D_1^{-1} + 1,6 d_2 - 0,64 d_1) / [3(d_2 - 0,8d_1)] + 8 X_0 n U_3 / 15 \\
M_{0c2} &= j_1^2 j_2 / j_x + 8 m_4 \omega^2 n^2 X_n \beta_{33} d_1 / 15 + m_3 \omega^2 n^2 X_n \beta_{33} (d_2 - 0,8d_1) / 3 - 8 X_0 n U_4 / 15 \\
M_{0s1} &= M_{0c1} + j_1^2 (j_4 / j_x - j_5 / j_y) \\
M_{0s2} &= M_{0c2} - j_1^2 (j_2 / j_x - j_3 / j_y) \\
A_1 &= -(M_{0c1} M_{c1} + M_{0c2} M_{c2}) / (M_{c1}^2 + M_{c2}^2) \\
A_2 &= (M_{0c1} M_{c2} - M_{0c2} M_{c1}) / (M_{c1}^2 + M_{c2}^2) \\
B_1 &= -(M_{0s1} M_{s1} + M_{0s2} M_{s2}) / (M_{s1}^2 + M_{s2}^2) \\
B_2 &= (M_{0s1} M_{s2} - M_{0s2} M_{s1}) / (M_{s1}^2 + M_{s2}^2) \\
d &= \alpha_{22} \alpha_{13} - \alpha_{12} \alpha_{23}, \quad d_3 = \alpha_{11} \alpha_{33} + \alpha_{13}^2 \\
d_2 &= \alpha_{12} \alpha_{13} - \alpha_{11} \alpha_{23}, \quad d_4 = \alpha_{11} \alpha_{22} - \alpha_{12}^2 \\
D_1 &= \alpha_{33} d_1 - \alpha_{23} d_2 + \alpha_{13} d, \quad D_2 = D_1^2 + \beta_{33}^2 d_1^2 \\
B_0 &= [R^2 \omega^2 \rho R_1 / (c^2 \varepsilon \operatorname{Re} \rho_0 h_0)] [-2^{56}/315 + 256 \kappa^2 / 105 - \\
&\quad - 128 \kappa^4 / 5 + 384 \kappa^6 - 1152 \kappa^7 \operatorname{ctn} \kappa^{-1} + 1152 \kappa^8] \\
\alpha_{11} &= 16 R^2 \omega^2 n^2 c^{-2} / 15 - 8 / 15 (R/l_1)^2 - 8(1-\mu) / 105 \\
\alpha_{12} &= 4/5 (R/l_1) (1+\mu), \quad \alpha_{13} = 64/105 (R/l_1) \mu \\
\alpha_{22} &= 16 R^2 \omega^2 n^2 c^{-2} / 15 - 4/3 (R/l_1)^2 (1-\mu) (1+4a^2) - \\
&\quad - 16(1+a^2) / 15, \quad \alpha_{23} = -32(1+a^2) / 35 - 32/15 (R/l_1)^2 (2-\mu) a^2 \\
\alpha_{33} &= -256 R^2 \omega^2 n^2 c^{-2} / 315 + 256(1+a^2) / 315 + \\
&\quad + 128/5 (R/l_1)^4 a^2 + 512/105 (R/l_1)^2 a^2 + 2\alpha \beta^2 B_0 \\
\beta_{33} &= -12 \gamma n B_0, \quad 2\alpha \beta^2 = n \beta^3 G_1 / (G_1^2 + G_2^2) \\
12\gamma &= -\beta^3 G_2 / (G_1^2 + G_2^2), \quad G_1 = \beta/2 - (\sin \beta + \operatorname{sh} \beta) / [2(\cos \beta + \operatorname{ch} \beta)] \\
G_2 &= (\sin \beta - \operatorname{sh} \beta) / [2(\cos \beta + \operatorname{ch} \beta)], \quad \beta = [\operatorname{Re} n/2]^{1/2}
\end{aligned}$$

Вычисления, проведенные по формуле (3.2), показывают, что упругие деформации корпуса поплавка сказываются даже для $\omega = O(1)$. Например, в гироприборе со стальным корпусом поплавка и параметрами $R_1 = 2 \cdot 10^{-2}$ м, $l_1 = 5,7 \cdot 10^{-2}$ м, $h_0 = 5 \cdot 10^{-4}$ м, $E = 1,961 \cdot 10^{11}$ Па, $\mu = 3 \cdot 10^{-1}$, $\rho_0 = 7,87 \cdot 10^3$ кг/м³, $\delta = 1 \cdot 10^{-4}$ м, $\rho = 2 \cdot 10^3$ кг/м³, $v = 2,53 \cdot 10^{-4}$ м²/с, $m_1 = 2,54 \cdot 10^{-2}$ кг, $m_2 = 8,96 \cdot 10^{-2}$ кг, $n_0 = 0$, $n_x = n_y = 3,53 \cdot 10^6$ кг/с², $k_x = k_y = 112$ кг/с вибрационный возмущающий момент (3.2), учитывающий упругие деформации корпуса поплавка, значительно больше, чем в гироприборе с абсолютно жестким корпусом поплавка, для которого справедлива формула (3.2) при $X_n = Y_n = \dot{X}_{0n} = 0$:

ω	1	101	401	701	1001
η_1	3,9	$3,3 \cdot 10^4$	$2,03 \cdot 10^7$	$2,60 \cdot 10^5$	$4,84 \cdot 10^4$
η_2	1	1	1,09	1,71	$4,35 \cdot 10$
ω	4001	7001	10 004	14 001	18 004
η_1	$1,38 \cdot 10^2$	7,27	1,14	1,71	2,46
η_2	0,904	0,942	1,01	1,45	1,35

Здесь $\eta_1 = \langle L_{0z} \rangle / \langle L_{0z} \rangle_\infty$ для стального корпуса поплавка, $\eta_2 = \langle L_{0z} \rangle / \langle L_{0z} \rangle_\infty$ для бериллиевого; знак ∞ относится к абсолютно жесткому корпусу поплавка; вибрация круговая; размерность ω в рад/с.

Следует отметить, что влияние упругих деформаций на вибрационный возмущающий момент существенно уменьшается с уменьшением линейных размеров цилиндрического корпуса поплавка, увеличением его толщины и уменьшением плотности материала, а также с увеличением модуля Юнга материала корпуса поплавка. Например, в гироприборе с бериллиевым корпусом поплавка и с параметрами $R_1 = 1 \cdot 10^{-2}$ м, $2l_1 = 3 \cdot 10^{-2}$ м, $h_0 = 1,25 \cdot 10^{-3}$ м, $E = 2,943 \cdot 10^{11}$ Па, $\mu = 1 \cdot 10^{-2}$, $\rho_0 = 1,84 \cdot 10^3$ кг/м³, $\delta = 2,5 \cdot 10^{-4}$ м, $\rho = 2 \cdot 10^3$ кг/м³, $v = 3,25 \cdot 10^{-4}$ м²/с, $m_1 = 4,04 \cdot 10^{-3}$ кг, $m_2 = 1,049 \cdot 10^{-2}$ кг, $n_x = n_y = 4,137 \cdot 10^5$ кг/с², $k_x = k_y = 13,2$ кг/с величина η_2 меньше величины η_1 согласно выводу.

Кроме момента (3.2) на рамку поплавка действует обусловленный силами инерции переносного движения момент со стороны ротора гиromотора, перемещающегося в опорах относительно рамки поплавка, компоненты которого по осям O_1z_1 , O_1x_1 , O_1y_1 имеют вид

$$L_{1z} = m_2 [y_1(x_0'' + x'' + x_1'') - x_1(y_0'' + y'' + y_1'')]$$

$$L_{1x} = L_{1y} = 0$$

Определяя постоянную по времени составляющую этого момента

$$\langle L_{1z} \rangle = \frac{1}{2\pi} \int_0^{2\pi} L_{1z} d\tau$$

и используя полученные результаты, можно считать, что на самом моменте $\langle L_{1z} \rangle$ упругие деформации корпуса поплавкаказываются мало во всем диапазоне частот ω вплоть до звукового диапазона как в случае равножестких и равнодемптириванных, так и в случае неравножестких и неравнодемптириванных опор ротора гиromотора.

ЛИТЕРАТУРА

- Городецкий О. М., Климов Д. М. О применимости квазистационарного метода для изучения динамики гироскопа с жидкостным подвесом // Изв. АН СССР. МТТ. 1982. № 4. С. 10–20.
- Андрейченко К. П., Могилевич Л. И. О динамике взаимодействия сдавливаемого слоя вязкой несжимаемой жидкости с упругими стенками // Изв. АН СССР. МТТ. 1982. № 2. С. 162–172.
- Лойцянский Л. Г. Механика жидкости и газа. М.: Наука. 1978. 736 с.
- Вольмир А. С. Оболочки в потоке жидкости и газа: Задачи гидроупругости. М.: Наука. 1979. 320 с.

Саратов

Поступила в редакцию
4.V.1985.